

вблизи инерционного периода T_I в диапазоне 17.5 – 18.5 часов свободные колебания могут не существовать. Заметно влияние b - эффекта на распределение амплитуды волны: амплитуда локализуется и ее наибольшие значения достигаются вдоль северо-западного побережья Крымского полуострова. Приближения b и f - плоскости существенно отличаются для волн с наименьшими порядковыми номерами k . С возрастанием номера k это различие исчезает.

Список использованной литературы

1. Иванов Ю.Б. Моделирование баротропных сейш в Черном море. //Доп. НАН України. – 1999.– N7.– С. 117–120.
2. Ле Блон П., Майсек Л. Волны в океане. – М.:Мир,1981. – 430 с.
3. Черкесов Л.В., Иванов В.А., Хартиев С.Н. Введение в гидродинамику и теорию волн. – Санкт-Петербург: Гидрометеоздат,1992. – 264 с.
4. Копачевский Н.Д., Крейн С.Г., Нго Зуй Кан. Операторные методы в линейной гидродинамике: эволюционные и спектральные задачи. – М.:Наука, 1989. – 416 с.

Поступила в редколлегию 5.06.2000

УДК 539.517.3

В.С. АБРАМОВ, канд. физ.-мат.наук, ДонФТИ НАН Украины
О.П. АБРАМОВА, канд. физ.-мат.наук, Донецкий гос. ун-т
Н.О. ЕФИМЕНКО, асп. Донецкий гос.ун-т

УРАВНЕНИЯ ДИНАМИКИ ДЛЯ АНИЗОТРОПНОЙ ПЛАСТИЧЕСКОЙ ПОДСИСТЕМЫ ФРАКТАЛЬНОЙ СРЕДЫ

В явном виде на основе дробного исчисления получены модельные уравнения динамики для анизотропной пластической подсистемы фрактальной среды. Выполнен анализ и дано графическое представление результатов по медленной динамике ряда параметров.

При описании фрактальных квазиодномерных сред успешно используется модель фрактальной струны [1]. В рамках этой модели основное уравнение динамики содержит тензоры второго ранга для эффективных плотности и силового параметра фрактальной струны. При этом диагональные компоненты указанных тензоров описывают пластическую (вязкую), упругую и ползучую подсистемы фрактальной струны, а недиагональные компоненты ответственны за взаимосвязи между указанными подсистемами. В работе [2] было выполнено

обобщение на трехмерный случай для пластической подсистемы фрактальной среды и записано уравнение динамики в общем тензорном виде. Целью данной работы является получение уравнений динамики в явном виде для ряда конкретных моделей анизотропной пластической подсистемы фрактальной среды.

Общее тензорное уравнение динамики для пластической подсистемы фрактальной среды [2]

$$D^n (r D^n u_s) = D_k X_{sk}; \quad X_{sk} = k_{sknm} D_m u_n; \quad s, k, n, m = 1, 2, 3 \quad (1)$$

получено на основе математического формализма дробного исчисления [3]. Здесь эффективные плотность r и тензор четвертого ранга k_{sknm} силового параметра описывают только пластическую подсистему фрактальной среды. Искомые функции $u_s = u_s(x_1, x_2, x_3, t)$, зависящие от декартовых координат x_1, x_2, x_3 и времени t , нелокальным образом связаны с компонентами смещений u'_s фрактальной среды [2].

Структура оператора D^n определена выражением

$$D^n u_s = \partial_t \int_{t'}^t u_s(x_1, x_2, x_3, t) |t - t'|^{-n} dt / \Gamma(1 - n), \quad (2)$$

где n – показатель порядка оператора дробной частной производной Римана–Лиувилля D^n по переменной времени t ; ∂_t – оператор обычной частной производной по переменной времени t ; Γ – гамма-функция; интегрирование ведется от начального состояния t' до текущего состояния t при фиксированных пространственных координатах. Компоненты тензора второго ранга $D_m u_n$ и оператора D_m определены соотношениями

$$D_m u_n = \begin{pmatrix} D_1^a u_1 & D_1^a u_2 & D_1^a u_3 \\ D_2^b u_1 & D_2^b u_2 & D_2^b u_3 \\ D_3^g u_1 & D_3^g u_2 & D_3^g u_3 \end{pmatrix} = \begin{pmatrix} D_1^a \\ D_2^b \\ D_3^g \end{pmatrix} (u_1 u_2 u_3). \quad (3)$$

Здесь a, b, g – показатели порядка операторов дробных частных производных Римана - Лиувилля D_1^a, D_2^b, D_3^g , по пространственным координатам x_1, x_2, x_3 , соответственно. Структура этих операторов записывается по аналогии с оператором D_1^a

$$D_1^a u_n = \partial_1 \int_{x_1}^{x_1} u_n(x_1, x_2, x_3, t) |x_1 - x_1|^{-a} dx_1 / \Gamma(1 - a), \quad (4)$$

где ∂_1 – оператор обычной частной производной по координате x_1 ; интегрирование ведется от начального состояния a_1 до текущего состояния x_1 при фиксированных координатах x_2, x_3 и времени t . Мы сохраняем физическую интерпретацию [2] показателей операторов дробных производных как фрактальных размерностей $n, a, b, g \in [0;1]$ вдоль временной, пространственных осей, соответственно, для фрактальной среды.

Перепишем тензорное уравнение (1) в виде системы трех связанных уравнений

$$\begin{aligned} D^n (r D^n u_1) &= D_1^a X_{11} + D_2^b X_{12} + D_3^g X_{13} = Y_1 ; \\ D^n (r D^n u_2) &= D_1^a X_{21} + D_2^b X_{22} + D_3^g X_{23} = Y_2 ; \\ D^n (r D^n u_3) &= D_1^a X_{31} + D_2^b X_{32} + D_3^g X_{33} = Y_3 . \end{aligned} \quad (5)$$

Введем единичные базисные векторы $\overset{\mathbf{1}}{e}_i$ и векторы $\overset{\mathbf{1}}{u} = u_i \overset{\mathbf{1}}{e}_i$, $\overset{\mathbf{1}}{Y} = Y_i \overset{\mathbf{1}}{e}_i$ (по паре одинаковых индексов подразумевается суммирование, $i = 1, 2, 3$). Тогда система (5) принимает компактную форму записи

$$D^n (r D^n \overset{\mathbf{1}}{u}) = \overset{\mathbf{1}}{Y} . \quad (6)$$

Рассмотрим модель анизотропной пластической подсистемы фрактальной среды с пятью независимыми параметрами m_1, m_2, m_3, m_4, l , которые связаны с ненулевыми компонентами тензора k_{sknm} следующими соотношениями

$$\begin{aligned} k_{1122} &= k_{2211} = k_{2233} = k_{3322} = k_{1133} = k_{3311} = l ; \quad k_{1111} = m_1 ; \\ k_{1212} &= k_{1221} = k_{2121} = k_{2112} = k_{1313} = k_{1331} = k_{3131} = k_{3113} = k_{2323} = \\ &= k_{2332} = k_{3232} = k_{3223} = m_4 ; \quad k_{2222} = m_2 ; \quad k_{3333} = m_3 . \end{aligned} \quad (7)$$

Такой выбор параметров выполнен по аналогии с описанием обычных анизотропных сред [4]. В общем случае указанные параметры могут быть функциями от координат и времени. С учетом выражений (1), (3), (7) находим компоненты симметричного тензора $X_{sk} = X_{ks}$

$$\begin{aligned} X_{11} &= m_1 D_1^a u_1 + l (D_2^b u_2 + D_3^g u_3) ; \quad X_{12} = X_{21} = m_4 (D_2^b u_1 + D_1^a u_2) ; \\ X_{22} &= m_2 D_2^b u_2 + l (D_1^a u_1 + D_3^g u_3) ; \quad X_{13} = X_{31} = m_4 (D_3^g u_1 + D_1^a u_3) ; \\ X_{33} &= m_3 D_3^g u_3 + l (D_1^a u_1 + D_2^b u_2) ; \quad X_{23} = X_{32} = m_4 (D_3^g u_2 + D_2^b u_3) . \end{aligned} \quad (8)$$

После подстановки выражений (8) в (5) получим систему трех связанных дифференциальных уравнений с дробными производными относительно неизвестных функций u_1, u_2, u_3 . Анализ и получение решений такой системы в общем случае затруднителен. С целью преодоления указанных трудностей мы применим полевой подход, предложенный в работе [2]. Согласно этому подходу вводим векторно-дифференциальный оператор ∇_D (по аналогии с оператором Набла для обычной среды), понятия фрактального градиента $Grad u_i$ для скалярного поля u_i и фрактальной дивергенции $Div \dot{u}$ для векторного поля \dot{u} следующими соотношениями

$$\begin{aligned} \nabla_D &= \mathbf{e}_1 D_1^a + \mathbf{e}_2 D_2^b + \mathbf{e}_3 D_3^g ; \quad Grad u_i = \nabla_D u_i ; \\ Div \dot{u} &= \nabla_D \cdot \dot{u} = D_1^a u_1 + D_2^b u_2 + D_3^g u_3 . \end{aligned} \quad (9)$$

Фрактальный ротор $Rot \dot{u}$ векторного поля \dot{u} определен выражением

$$Rot \dot{u} = \nabla_D \times \dot{u} = \begin{vmatrix} \mathbf{e}_1 & \mathbf{e}_2 & \mathbf{e}_3 \\ D_1^a & D_2^b & D_3^g \\ u_1 & u_2 & u_3 \end{vmatrix} . \quad (10)$$

Обозначения типа (\cdot) и (\times) соответствуют скалярному и векторному произведениям. С учетом выражений (5), (8) – (10) находим искомое выражение для векторного поля \dot{Y} в правой части уравнения (6)

$$\begin{aligned} \dot{Y} &= Grad(I Div \dot{u}) + Rot(m_4 Rot \dot{u}) + 2(\nabla_D \cdot m_4 \nabla_D) \dot{u} + \dot{B} ; \\ \dot{B} &= \mathbf{e}_1 D_1^a (m_a D_1^a u_1) + \mathbf{e}_2 D_2^b (m_b D_2^b u_2) + \mathbf{e}_3 D_3^g (m_g D_3^g u_3) ; \\ m_a &= m_1 - I - 2 m_4 ; \quad m_b = m_2 - I - 2 m_4 ; \quad m_g = m_3 - I - 2 m_4 . \end{aligned} \quad (11)$$

Таким образом, уравнение (6) с правой частью в форме (11) и представляют собой искомые уравнения динамики для рассматриваемой модели анизотропной пластической подсистемы фрактальной среды. Такая форма записи позволяет выполнить сравнительный анализ, выявить различия и аналогии с полевыми уравнениями динамики обычных сред.

Теперь рассмотрим ряд частных случаев, следующих из выражений (11). Если $m_1 = m_2 = m_3 = I + 2 m_4$, то $m_a = m_b = m_g = 0$ и из (11) следует уравнение динамики

$$D^n (r D^n \mathbf{u}) = Grad(I Div \mathbf{u}) + Rot(m_4 Rot \mathbf{u}) + 2(\nabla_D \cdot m_4 \nabla_D) \mathbf{u} \quad (12)$$

для изотропной фрактальной среды, которая описывается только двумя независимыми переменными силовыми параметрами I, m_4 . Дальнейшее упрощение уравнений можно выполнить, если положить параметры r, I, m_4 постоянными и учесть соотношения

$$\begin{aligned} Rot Rot \mathbf{u} &= Grad Div \mathbf{u} - \nabla_D^2 \mathbf{u}; \\ \nabla_D^2 \mathbf{u} &= (\nabla_D \cdot \nabla_D) \mathbf{u} = (D_1^a D_1^a + D_2^b D_2^b + D_3^g D_3^g) \mathbf{u}. \end{aligned} \quad (13)$$

В результате получаем уравнения динамики для изотропной фрактальной среды с постоянными параметрами r, I, m_4 в виде

$$r D^n D^n \mathbf{u} = m_4 \nabla_D^2 \mathbf{u} + (I + m_4) Grad Div \mathbf{u}. \quad (14)$$

Отметим, что при $n = a = b = g = 1$ уравнение (14) переходит в уравнение динамики обычной изотропной среды, известное в теории упругости [4]. При этом вектор \mathbf{u} приобретает смысл вектора смещения; параметры I и m_4 совпадают с коэффициентами Ламэ; r имеет смысл плотности среды; параметры v_m и v_l означают поперечную и продольную скорости звука, определяемые формулами $v_m^2 = m_4 / r$, $v_l^2 = (I + 2m_4) / r$. Данные факты свидетельствуют о возможном строгом предельном переходе от уравнений динамики фрактальной среды к уравнениям обычной среды и о достоверности получаемых результатов. Для другого частного случая при $I = m_4 = 0$ из (11), (6) следуют три независимые дифференциальные уравнения в дробных производных относительно неизвестных функций u_1, u_2, u_3 , соответственно,

$$\begin{aligned} D^n (r D^n u_1) &= D_1^a (m_1 D_1^a u_1); & D^n (r D^n u_2) &= D_2^b (m_2 D_2^b u_2); \\ D^n (r D^n u_3) &= D_3^g (m_3 D_3^g u_3) \end{aligned} \quad (15)$$

для анизотропной фрактальной среды, которая описывается теперь тремя независимыми переменными силовыми параметрами m_1, m_2, m_3 . Отдельное уравнение из (15) по этой причине можно рассматривать как уравнение динамики для фрактальной струны вдоль соответствующей координатной оси и использовать известные методы

решения задачи Коши для первого уравнения из (15). Приведем для параметров r и m_1 их выражения в явном виде [1]:

$$r = r_0(t) c_1^2; m_1 = m_0(x_1) g_1^2; c_1 \Gamma(n) = |t - t'|^{n-1}; g_1 \Gamma(a) = |x_1 - a_1|^{a-1}. \quad (16)$$

Если в процессе временной и пространственной эволюций параметры $r_0(t)$, $m_0(x_1)$ следуют за изменениями $c_1(t)$, $g_1(x_1)$ без запаздывания, то параметры r , m_1 можно считать постоянными. В этом случае первое уравнение (15) упрощается и принимает вид

$$D^n D^n u_1 = v_0^2 D_1^a D_1^a u_1; v_0^2 = m_1 / r. \quad (17)$$

Применив метод разделения переменных $u_1(x_1, x_2, x_3, t) = u_{11}(t) u_{21}(x_1) f_1(x_2, x_3)$, находим решение уравнения (17) относительно неизвестных функций u_{11}, u_{21} в виде

$$\begin{aligned} u_{11} &= b_2 N_1 + b_1 N_2; u_{21} = s_2 R_1 + s_1 R_2; \\ N_1 &= |t - t'|^{2n-1} E_{2n, 2n}(z_1); N_2 = |t - t'|^{n-1} E_{2n, n}(z_1); \\ R_1 &= |x_1 - a_1|^{2a-1} E_{2a, 2a}(z_2); R_2 = |x_1 - a_1|^{a-1} E_{2a, a}(z_2). \end{aligned} \quad (18)$$

Здесь $E_{a, b}(z)$ – функция Миттаг-Леффлера [3], параметры b_1, b_2, s_1, s_2 и функция $f_1(x_2, x_3)$ определяются начальными условиями задачи Коши. Аргументы z_1, z_2 определены соотношениями

$$z_1 = I_1 |t - t'|^{2n}; z_2 = I_2 |x_1 - a_1|^{2a}; I_1 = I_2 v_0^2, \quad (19)$$

где параметры I_1, I_2 находятся при решении спектральной задачи и в дальнейшем считаем их заданными. Искомые компоненты смещения $u'_1 = u'_{11} + u'_{21}$ точек рассматриваемой фрактальной струны, пластическая дисторсия b_1 , скорость пластического течения v_1 связаны с найденными решениями (18), (19) для функции u_1 следующими выражениями [1]

$$\begin{aligned} u'_{11} &= g_3 D^n u_1; u'_{21} = g_2 D_1^a u_1; b_1 = g_1 D_1^a u_1; \\ v_1 &= c_1 D^n u_1; g_3 \Gamma(1+n) = |t - t'|^n; g_2 \Gamma(1+a) = |x_1 - a_1|^a. \end{aligned} \quad (20)$$

По аналогии можно получить решение задачи Коши для второго и третьего уравнений (15).

Выполнен численный анализ решений (18) и приведено графическое представление результатов для смещения u'_{11} (рис. 1) и дисторсии b_1 (рис. 2), которые выявляют аномальное динамическое поведение (медленную динамику) фрактальной струны в ходе временной и пространственной эволюций. При численном анализе был сделан переход к безразмерным переменным, для которых ниже сохраняются прежние обозначения.

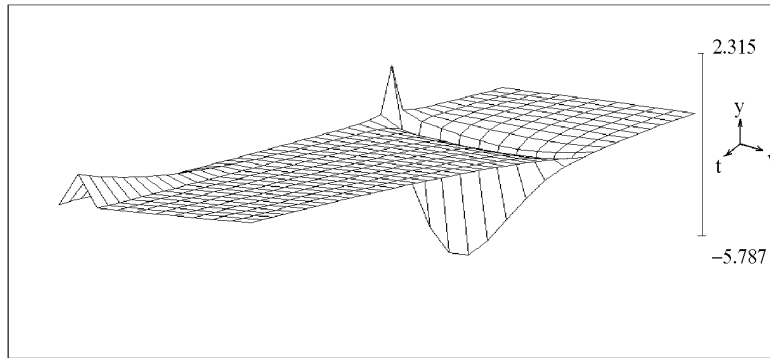


Рис.1. Зависимость нормированного смещения $y = u'_{11} / u_{21} f_1 = g_3(b_1 N_1 + b_2 N_2)$ точек фрактальной струны от безразмерного времени t и фрактального параметра n для случая, когда $b_1 = I_1 = t' = 1$; $b_2 = -1$; $t \in [0,001; 4]$ и $n \in [0,001; 1]$ с шагом 0,1.

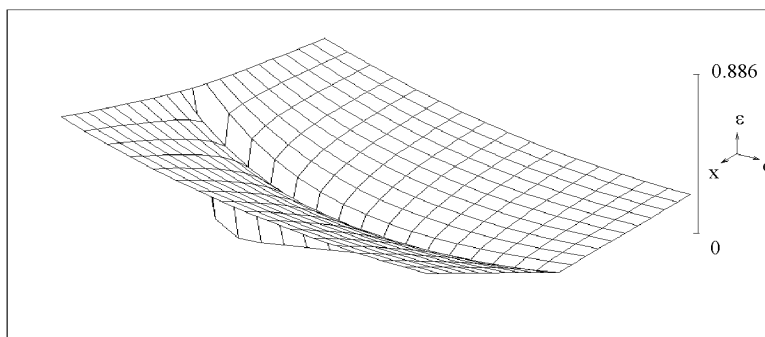


Рис. 2. Зависимость нормированной дисторсии $e = b_1 / u_{11} f_1 = g_1(s_1 R_1 + s_2 R_2)$ точек фрактальной струны от безразмерной координаты $x = x_1$ и фрактального параметра a для случая, когда $s_1 = I_2 = a_1 = 1$, $s_2 = 0$; $x \in [0,8; 1,2]$ и $a \in [2/3; 1]$ с шагом 0,02.

Список использованной литературы

1. Abramov V.S. A model of the fractal string // Физ. и техн. высок. Давлений. – 1997. –Т.7, N 1. С. 28–35.
2. Абрамов В.С., Абрамова О.П. Полевой подход на основе дробного исчисления к описанию динамики фрактальных сред // Современные проблемы механики сплошной среды: Труды III Междунар. конф., Ростов–на–Дону, 7–9 октября 1997 г. – Ростов-на-Дону, – 1997. – Т.1. С. 6–10.
3. Самко С.Г., Килбас А.А., Маричев О.И. Интегралы и производные дробного порядка и некоторые их приложения. – Минск, 1987.– 688 с.
4. Ландау Л.Д., Лифшиц Е.М. Теория упругости.– М.: Наука, 1987.– 248 с.
5. Абрамов В.С., Абрамова О.П. Задача типа Коши для фрактальной струны // Теорет. и прикл. механика. Харьков, –1997.– Вып.27. С.137–145.

Поступила в редколлегию 17.04.2000